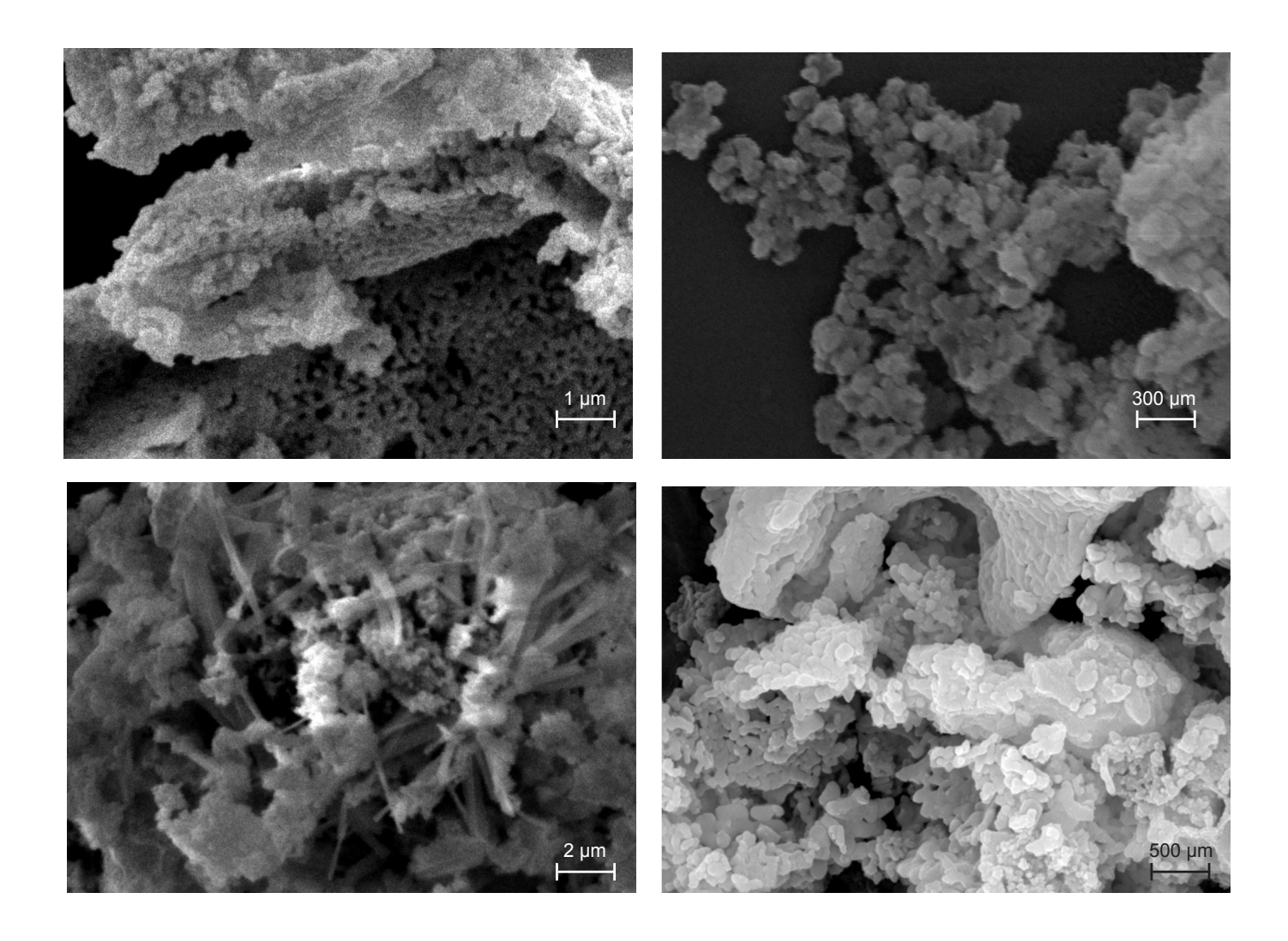
ÓRGÃO OFICIAL DA ASSOCIAÇÃO BRASILEIRA DE CERÂMICA - ANO LVII - VOL. 57, 343- JUL/AGO/SET 2011

# ASSOCIAÇÃO BRASILEIRA



DE CERÂMICA

## Síntese e estudo microestrutural de perovsquitas tipo La<sub>0.8</sub>Ca<sub>0.2</sub>MO<sub>3</sub> (M: Co e Mn) para aplicação em catálise automotiva

## (Synthesis and microstructural study of $La_{0.8}Ca_{0.2}MO_3$ (M: Mn and Co) perovskites for automotive catalysis)

J. P. Ribeiro<sup>1</sup>, F. M. M. Borges<sup>2</sup>, P. M. Pimentel<sup>1</sup>, R. M. P. B. Oliveira<sup>3</sup>, D. M. A. Melo<sup>1</sup>, T. C. Bicudo<sup>2</sup>

<sup>1</sup>Departamento de Química, <sup>2</sup>Escola de Ciências e Tecnologia, <sup>3</sup>Departamento de Ciência e Engenharia de Materiais

Universidade Federal do Rio Grande do Norte, Natal, RN 59078-970

ribeiro.jotape@gmail.com

#### Resumo

Materiais com estrutura perovsquita são potenciais catalisadores para prevenir a emissão de componentes indesejáveis ao meio ambiente. Diferentes métodos têm sido propostos para a síntese desses materiais, visando produzir materiais homogêneos com tamanho nanométrico de partículas. Os compostos La<sub>0,8</sub>Ca<sub>0,2</sub>MnO<sub>3</sub> e La<sub>0,8</sub>Ca<sub>0,2</sub>CoO<sub>3</sub> foram preparados pelo método dos precursores poliméricos visando sua utilização como catalisadores automotivos. Este método de síntese foi utilizado porque permite a obtenção de pós homogêneos e fases cristalinas a temperaturas mais baixas que os outros métodos tradicionais de síntese. Os materiais foram calcinados a 700 e 900 °C por 4 h e caracterizados pelas técnicas de análise térmica, difração de raios X e microscopia eletrônica de varredura. As perovsquitas obtidas são nanométricas, monofásicas e com propriedades adequadas para utilização em catálise automotiva.

Palavras-chave: perovsquita, precursores poliméricos, síntese.

#### Abstract

Materials with perovskite structure are potential catalysts for preventing greenhouse gas emissions to the environment. Several methods have been proposed for the synthesis of these materials in order to produce homogeneous powders with nanometric particle size. In the present work, the  $La_{0.8}Ca_{0.2}MnO_3$  and  $La_{0.8}Ca_{0.2}CoO_3$  systems were prepared by the polymeric precursor method for application in automotive catalysis. This method was chosen because it allows obtaining homogeneous powders and crystalline phases at lower temperatures. The powders were calcined at 700 and 900 °C for 4 h and characterized by thermal analysis, X-ray diffraction and scanning electron microscopy techniques. The perovskites are nanometric, single phased and present suitable properties for use in automotive catalysis. **Keywords**: polymeric precursor, perovskites, synthesis, characterization.

#### INTRODUÇÃO

Óxidos com estrutura perovsquita fazem parte da família dos materiais cerâmicos, com nome derivado do mineral CaTiO<sub>3</sub>, que tem uma estrutura ortorrômbica distorcida com grupo espacial Pnma. O interesse neste tipo de estrutura se dá devido as suas propriedades óticas, magnéticas e elétricas e sua possível aplicação em sensores de gás, baterias termoelétricas, sensores químicos, células a combustível e como catalisador na decomposição e oxidação de CO, CO<sub>2</sub> e CH<sub>4</sub> [1]. As perovsquitas tem fórmula tipo ABO<sub>3</sub>, onde A é geralmente um lantanídeo e B um metal de transição. O cátion maior e mais iônico da estrutura se situa no sítio A tem número de coordenação 12 com os oxigênios, enquanto o cátion mais covalente e menor se situa no sítio B e tem número de coordenação 6 com os oxigênios se arranjando em

uma geometria octaédrica. Desta forma, óxidos podem ser formados com estruturas perovsquitas com quase qualquer combinação de metais; estas combinações destorcem a estrutura cúbica teórica do óxido, levando à compostos tetragonais, ortorrômbicos e romboédricos na maioria das vezes [2].

Estruturas do tipo LaCoO<sub>3</sub> e LaMnO<sub>3</sub> tem sido muito visadas devido a sua alta atividade catalítica e estabilidade térmica em reações de oxidação de hidrocarbonetos, visto que atingem atividades catalíticas tão altas quanto os metais nobres. A substituição do lantânio pelo cálcio no sitio de coordenação 12 não altera a estrutura da perovsquita e ainda estabiliza o cátion B do sitio octaédrico com valência 3+, melhorando assim, a propriedade catalítica do sistema. O presente trabalho teve como objetivo a síntese e caracterização de sistemas tipo La<sub>0.8</sub>Ca<sub>0.9</sub>MnO<sub>3</sub> e La<sub>0.8</sub>Ca<sub>0.9</sub>CoO<sub>3</sub> pelo

método dos precursores poliméricos (Pechini) visando sua utilização como catalisadores automotivos.

#### MATERIAIS E MÉTODOS

Os pós de La<sub>0.8</sub>Ca<sub>0.2</sub>CoO<sub>3</sub> e La<sub>0.8</sub>Ca<sub>0.2</sub>MnO<sub>3</sub> foram sintetizados pelo método dos precursores poliméricos, método Pechini. O procedimento consistiu em dissolver ácido cítrico (CRQ, 99,5%) em água deionizada e, em seguida, o nitrato do metal formador da rede Co(NO<sub>2</sub>)<sub>2</sub>.6H<sub>2</sub>O (Vetec, 98,0%) ou Mn(NO<sub>3</sub>)<sub>3</sub>.6H<sub>2</sub>O (Vetec, 98,0%) foi adicionado na proporção metal:ácido cítrico de 1:1,5. Logo após, foi adicionado La(NO<sub>2</sub>)<sub>2</sub>.6H<sub>2</sub>O (Vetec, 98,0%) na mesma proporção e então o Ca(NO<sub>2</sub>)2.4H<sub>2</sub>O (Vetec, 98,0%). A solução foi aquecida até aproximadamente 70 °C e mantida sob aquecimento após ~ 30 min. Etilenoglicol foi adicionado ao sistema, como agente polimerizante, com proporção em massa de 60:40 em relação ao ácido cítrico e a temperatura do sistema foi elevada a 90 °C. Então, um polímero gelatinoso dos metais foi formado e foi submetido à calcinação a 350 °C por 4 h, para a obtenção do pó precursor e eliminação da matéria orgânica. Os pós obtidos foram calcinados a 700 °C e 900 °C por 4 h e caracterizados por análise termogravimétrica, em atmosfera de ar, com equipamento DTG-60 Shimadzu, difração de raios X (DRX) em um difratômetro Shimadzu XRD-7000, com radiação Cukα (1,5406 nm) e valores de 20 de 10 a 80°. O tamanho de cristalito foi obtido a partir da equação de Scherrer [3], que utiliza a largura e a meia altura dos picos de difração das amostras analisadas. Imagens MEV-FEG dos pós foram obtidas em um microscópio Jeol JSM 6330F.

#### RESULTADOS E DISCUSSÃO

As curvas termogravimétricas dos pós precursor são mostradas nas Figs. 1 e 2. Na Fig. 1 observa-se que existe uma perda de massa de aproximadamente 16% e a estabilidade térmica ocorre em torno de 700 °C. Na Fig. 2 uma perda de massa de 22% é observada, enquanto que a estabilidade térmica ocorre em ~ 700 °C. Tais perdas de

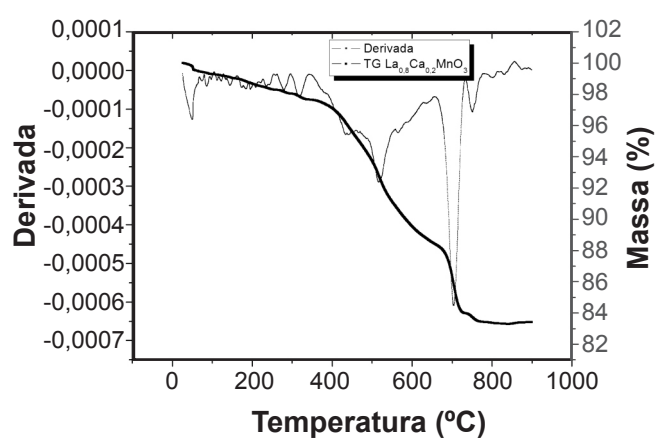


Figura 1: Curva termogravimétrica do pó precursor  $La_{0.8}Ca_{0.2}MnO_3$ . [Figure 1: Termogravimetric curve of the precursor powder  $La_{0.8}Ca_{0.2}MnO_3$ .]

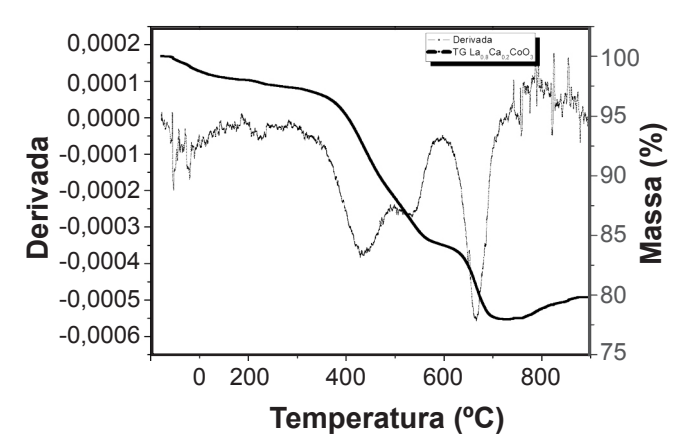


Figura 2: Curva termogravimétrica do pó precursor  $La_{0,8}Ca_{0,2}CoO_3$ . [Figure 2: Termogravimetric curve of the precursor powder  $La_{0,8}Ca_{0,2}CoO_x$ ]

Tabela I - Parâmetros de rede dos pós precursores  $La_{0,8}Ca_{0,2}CoO_3$  e  $La_{0,8}Ca_{0,2}MnO_3$ . [Table I - Lattice parameters of the precursor powders

[Table 1 - Lattice parameters of the precursor powders  $La_{0.8}Ca_0$ ,  $CoO_3$  and  $La_{0.8}Ca_0$ ,  $MnO_x$ .]

	A	b	C	A	В	γ
La <sub>0,8</sub> Ca <sub>0,2</sub> CoO <sub>3</sub>	5,45	5,45	13,07	90°	90°	120°
$La_{0,8}Ca_{0,2}MnO_3$	7,75	7,64	7,75	90°	90°	90°

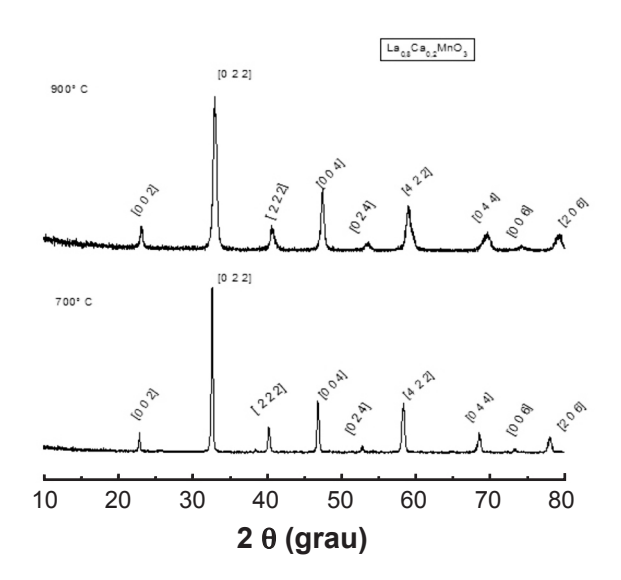


Figura 3: Difratogramas de raios X em função da temperatura dos compostos calcinados: a) 700 °C e b) 900 °C. [Figure 3: X-ray diffraction patterns as a function of the

temperature of the calcined compounds: a) 700 °C and b) 900 °C.]

massa estão associadas com a perda de água e decomposição da matéria orgânica remanescente.

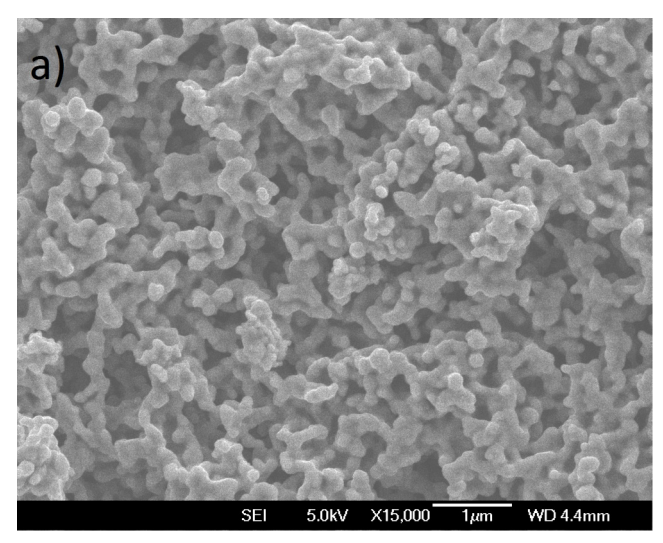
Os difratogramas de raios X são mostrados na Fig. 3. Todos os difratogramas apresentaram a fase desejada a partir da temperatura de calcinação de 700 °C e sem a formação de fases secundárias. De acordo com as cartas PDF 44-1040

Tabela II - Tamanho de cristalito do composto  $La_{0.8}Ca_{0.2}CoO_3$  em função da temperatura de calcinação. [Table II - Crystallite size of  $La_{0.8}Ca_{0.2}CoO_3$  as a function of the temperature.]

Temperatura		Tamanho de cristalito (nm) por família de planos.							
(°C)	{012}	{110}	{104}	{202}	{024}	{214}	{220}	{134}	Tamanho médio
900	27,61	22,97	27,83	26,31	20,59	39,57	20,32	20,77	27,7
700	16,95	25,39	17,95	23,22	31,01	23,13	19,18	44,72	24,29

Tabela III - Tamanho de cristalito em função da temperatura de calcinação do composto  $La_{0.8}Ca_{0.2}MnO_3$ . [Table III - Crystallite size of  $La_{0.8}Ca_{0.2}MnO_3$  as a function of the calcination temperature.]

Temperatura		Tamanho de cristalito (nm) por família de planos						
(°C)	{002}	{022}	{222}	{004}	{422}	{044}	{206}	médio
900	34,47	63,64	28,76	28,42	34,62	28,42	24,2	33,78
700	15,62	36,14	14,92	18,85	12,56	13,75	34,17	18,79



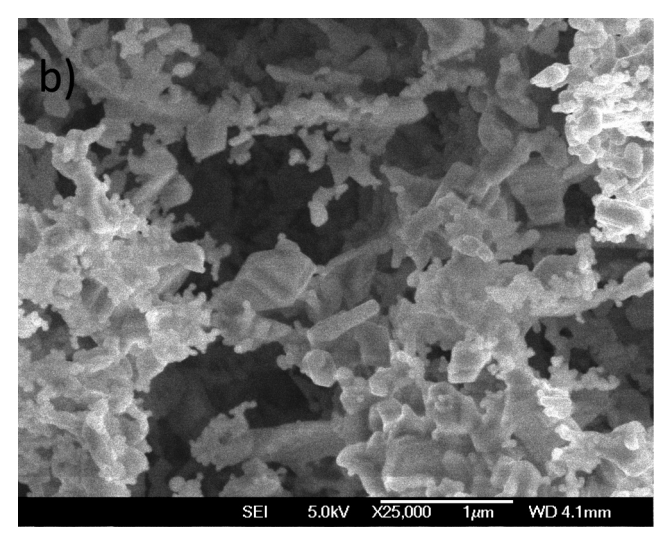
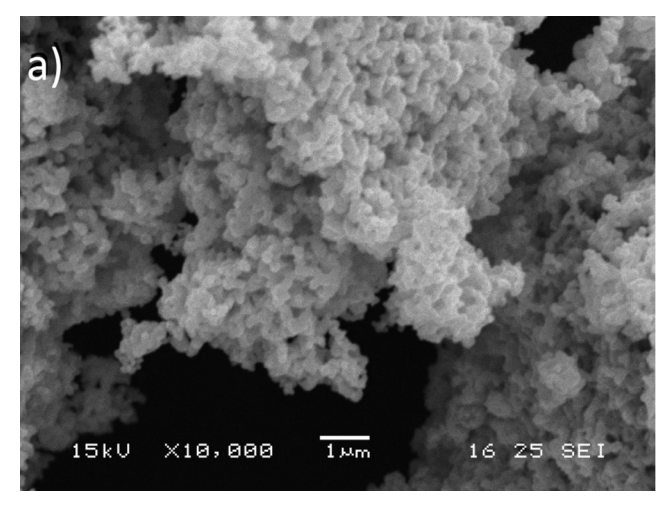


Figura 4: Imagens FEG-MEV do  $La_{0.8}Ca_{0.2}CoO_3$  calcinado a a) 700 °C e b) 900 °C. [Figure 4: FEG-SEM images of  $La_{0.8}Ca_{0.2}CoO_3$  calcined at a) 700 °C and b) 900 °C.]



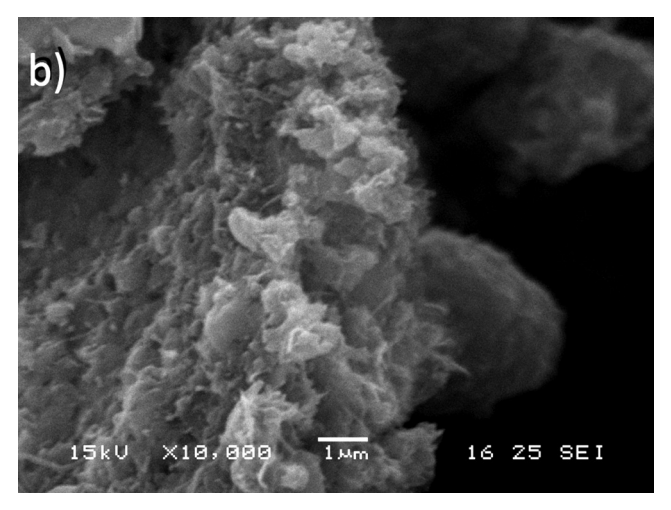


Figura 5: Imagens MEV a)  $La_{0.8}Ca_{0.2}CoO_3$  calcinado a 700 °C e b)  $La_{0.8}Ca_{0.2}MnO_3$  calcinado a 900 °C. [Figure 5: SEM images of a)  $La_{0.8}Ca_{0.2}CoO_3$  calcined at 700 °C and b)  $La_{0.8}Ca_{0.2}MnO_3$  calcined at 900 °C.]

e 36-1388, as fases formadas tiveram estrutura perovsquita monoclínica para La<sub>0.8</sub>Ca<sub>0.2</sub>MnO<sub>3</sub> e romboédrica para La<sub>0.8</sub>Ca<sub>0.2</sub>CoO<sub>3</sub> em ambas as temperaturas de calcinação. Os parâmetros de rede foram calculados pelo programa X'pert HighScore, e são mostrados na Tabela I, concordando com ambas arquivos usados na caracterização. O tamanho médio de cristalito e a microdeformação são mostrados nas Tabelas II e III.

As imagens MEV-FEG dos pós são mostradas nas Figs. 4e 5. Nas imagens do La<sub>0.8</sub>Ca<sub>0.2</sub>CoO<sub>3</sub> a maioria das partículas tem forma arredondada, são nanométricas e porosas. A superfície porosa, evidenciada na imagem da Fig. 5a, é decorrente da evolução dos gases provenientes da decomposição da matéria orgânica durante a calcinação. Observa-se também a formação de aglomerados, principalmente na Fig. 5b, o que é decorrência não apenas do método de síntese, mas também do tamanho da partícula (nanométrica) que cria uma alta tensão superficial, fornecendo uma força motriz para as partículas se unirem.

#### **CONCLUSÃO**

O método dos precursores poliméricos de preparação dos pós se mostrou satisfatório para obtenção de estruturas perovsquitas com propriedades apropriadas para aplicação em catálise automotiva. Nos sistemas estudados a formação da perovsquita foi alcançada a baixas temperaturas. A estrutura da perovsquita foi monoclínica para La<sub>0,8</sub>Ca<sub>0,2</sub>MnO<sub>3</sub> e romboédrica para La<sub>0,8</sub>Ca<sub>0,2</sub>CoO<sub>3</sub> em ambas as temperaturas de calcinação. Fases secundárias não foram observadas nos pós sintetizados.

#### **AGRADECIMENTOS**

Os autores gostariam de agradecer a Escola de Ciências e Tecnologia da UFRN (ECT-UFRN), ao Programa de Reestruturação e Expansão das Universidades Federais (REUNI), ao Laboratório Nacional de Luz Sincrotron (LNLS) pelas imagens MEV-FEG e ao Laboratório de Catálise e Materiais da UFRN (LCMAT-UFRN).

#### REFERÊNCIAS

[1] B. Seyfi, M. Baghalha, H. Kezemiah, Chem. Eng. J. **148** (2009) 306.

[2] G. Sinquin, C. Petit, J. P. Hindermann, A. Kiennemann, Catalysis Today **70** (2001) 183.

[3] B. D. Cullity, S. R. Stock, *Elements of X-ray diffraction*, Addison-Wesley Publ. Co., Inc. (1978).

(Rec. 04/08/2010, Rev. 21/09/2010, Ac. 12/02/2011)

### Cerâmica

#### Ano LVII - Vol 57, 343, JUL/AGO/SET 2011 - ISSN-0366-6913

Viabilidade do uso de argilas cauliníticas do Quadrilátero Ferrífero para a indústria cerâmica (Availability of the kaolin from Ouadrilátero Ferrífero for the ceramic industry)	
M. G. Peralta-Sánchez, A. M. Morales-Carrera, A. F. D. C. Varajão, M. M. Ferreira	254
Cerâmicas avançadas no processo de retificação cilíndrica externa de mergulho com rebolos diamantados com a técnica da mímima quantidade de lubrificação e refrigeração otimizada	
(Advanced ceramics in the external cylindrical plunge grinding using the technique of minimum quantity of lubrication and the technique of optimized refrigeration with diamond wheels)	
M. H. Oikawa, E. C. Bianchi, R. S. Destro, R. M. Sousa, R. C. Canarim, R. P. Simões, P. R. Aguiar	263
Síntese de hidróxidos duplos lamelares do sistema Cu, Zn, Al-CO,: propriedades morfológicas, estruturais e comportamento térmico	
(Synthesis of layered double hydroxides of the Cu, Zn, Al-CO <sub>3</sub> sys <sup>t</sup> em: morphological and structural properties and thermal behavior) S. S. dos Santos, J. A. M Corrêa	274
	277
Caracterização e análise estrutural da hidroxisodalita sintetizada a partir de amostras de solo amazônico (Characterization and structural analysis hydroxysodalite synthesized from Amazonian soil samples)	
V. A. A. de Freitas, J. S. V. Lima, P. R. da C. Couceiro	281
Lodo gerado na estação de tratamento de água Tamanduá, Foz do Iguaçu, PR, como aditivo em argilas para cerâmica vermelha. Parte I: Caracterização do lodo e de argilas do terceiro planalto paranaense	
(Generated sludge at water treatment station Tamanduá, Foz do Iguaçu, PR, as additive in red clay for ceramics. Part I: Characterization of sludge and clay Paraná third plateau. R. Tartari, N. Díaz-Mora, A. N. Módenes, S. A. Pianaro	
Simulação termodinâmica e sua aplicação na avaliação do desempenho de materiais refratários	
(Thermodynamic simulation and its application to evaluate the performance of refractory materials)	20.4
A. P. Luz, V. C. Pandolfelli	294
Estudo da influência das condições de síntese do método dos precursores poliméricos na formação de perovsquitas do tipo LaNiO <sub>3</sub> (Study of the influence of the synthesis conditions of the precursor polymeric method for LaNiO, perovskite type formation)	
M. C. Alves, S. O. Souza, J. C. Santos, M. J. B. Souza, A. M. G. Pedrosa	305
Comportamento de sinterização do LaCrO, dopado com Sr e Co	
(Sintering behavior of Sr and Co doped LaCrO <sub>2</sub> ) L. F. G. Setz, H. P. S. Corrêa, S. R. H. Mello-Castanho	210
	310
Avaliação de argilas cauliníticas de Campos dos Goytacazes utilizadas para fabricação de cerâmica vermelha (Evaluation of kaolinitic clays from Campos dos Goytacazes used for red ceramic fabrication)  C. M. F. Vieira, R. M. Pinheiro	319
Some studies on the wear resistance of artificial teeth in presence of amorphous SiO, and TiO, fillers	
(Estudos da resistência ao desgaste de dente artificial em presença de fillers amorfos SiO <sub>3</sub> e TiO <sub>3</sub> ) N. Muhammad, S. Maitra, I. Ul Haq, M. Farooq	324
Influência da expansão por umidade no comportamento mecânico de argilas para uso em blocos de cerâmica vermelha - revisão	
(Influence of moisture expansion on the mechanical behavior of structural clay materials for use in ceramic bricks - review) R. A. Andrade, R. R. Medeiros, L. F. A. Campos, H. S. Ferreira, R. R. Menezes, G. A. Neves, H. C. Ferreira	320
K.A. Anarade, K. K. Medeuos, L. F. A. Campos, H. S. Ferreira, K. K. Menezes, G. A. Neves, H. C. Ferreira	329
Obtenção de BaTiO <sub>3</sub> livre de resíduos de carbonato de bário pelo método dos precursores poliméricos (Obtention of carbonate-free BaTiO <sub>3</sub> by the polymeric precursor method)	
S. L. M. Brito, D. Gouvêa	338
Síntese e estudo microestrutural de perovsquitas tipo La <sub>0.8</sub> Ca <sub>0.2</sub> MO <sub>3</sub> (M: Co e Mn) para aplicação em catálise automotiva	
(Synthesis and microstructural study of La <sub>0.8</sub> Ca <sub>0.3</sub> MO <sub>3</sub> (M: Mn and Co) perovskites for automotive catalysis) J. P. Ribeiro, F. M. M. Borges, P. M. Pimentel, R. M. P. B. Oliveira, D. M. A. Melo, T. C. Bicudo	348
	5 70
Síntese e caracterização de espinélios à base de ferritas com gelatina como agente direcionador (Synthesis and characterization of ferrite-base spinels with gelatin as directing agent)	
A. F. Costa, P. M. Pimentel, D. M. A. Melo, M. A. F. Melo, F. M. Aquino	352
Formação da eflorescência em cerâmica vermelha: fatores de influência no transporte dos íons SO <sub>4</sub> <sup>2-</sup> e Ca <sup>2+</sup>	
(Formation of efflorescence on red ceramics: factors of influence on the transport of SO <sub>4</sub> <sup>2-</sup> and Ca <sup>2+</sup> ions) C. C. Ferreira, C. P. Bergmann	356
Propriedades e bioatividade de um cimento endodôntico à base de aluminato de cálcio (Properties and bioactivity of endodontic calcium aluminate cement)	
I. R. Oliveira, V. C. Pandolfelli	364
Densificação, tamanho de grãos e condutividade elétrica da céria-samária	
(Densification, grain size and electrical conductivity of samaria-doped ceria) S. L. Reis, E. N. S. Muccillo	371
Resistividade do filme depositado via sol-gel e estado de oxidação do dopante Ce na matriz SnO <sub>3</sub>	
(Resistivity of the film deposited via sol-get and oxidation state of Ce doping in SnO <sub>2</sub> matrix)	
I. V.A. Scalvi, T. F. Pineiz, M. A. I. Pinheiro, M. I. Saeki, V. Briois	225





